### Líneas de transmisión

### **FACULTAD DE INGENIERIA**

Escuela de Telecomunicaciones Quinto Semestre

Unidad III: Adaptación de impedancias: REDES DE DOS ELEMENTOS
PhD. Daniel Antonio Santillán Haro



### Resumen

1 REDES L

2 Redes pi y T

3 Trabajos propuestos

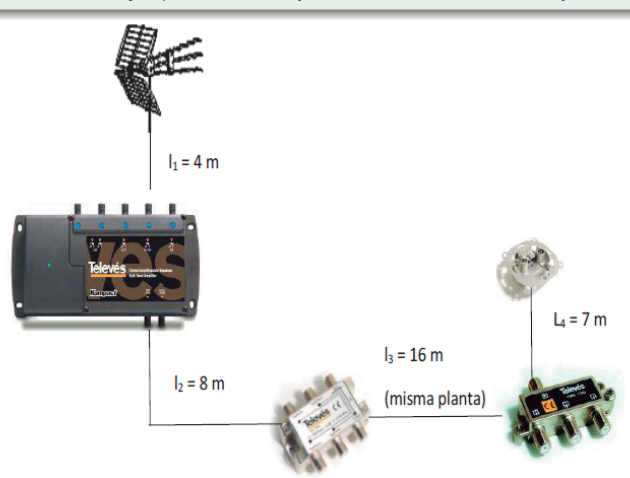
1 REDES L

2 Redes pi y T

Trabajos propuestos

### **Aplicación**

 Se diseña una infraestructura común de telecomunicaciones tal y como se muestra en el dibujo (antena, amplificador, derivador, repartidor y toma.)



### Aplicación

Datos elementos de red.

#### DATOS AMPLIFICADOR

Banda	47-862 MHz
Figura de Ruido	7 dB
M₃ (para usar con dBμV)	-200dB
Ganancia	30 dB

#### DATOS TOMA DEL USUARIO

Banda	47-2150 MHz
Pérdidas inserción V/U	2 ± 0,5 dB

### **Aplicación**

• Datos elementos de red.

#### DATOS REPARTIDOR

Banda	47-2150 MHz
Nº Salidas	5
Pérdidas distribución V/U	5 ± 0,25 dB

#### DATOS DERIVADOR

Nº Salidas	1
Pérdidas derivación V/U	16 ± 0,5 dB
Pérdidas inserción V/U	2 ± 0,25 dB

### Aplicación

#### · Datos cables.

	erencias		212801	212811	414801	414802	2127	212703	212704	212701	212702	212403	
Тіро		Clase A CXT			Clas	e A+	Clase A						
					SK6Fplus		CXT-1						
Ømm		1,00			1,	02	1,00 Ac+Cu						
Conductor central	Material	Cu			Ac+Cu								
Res. Ohr		<23			< 1	10	<120						
Dieléctrico	Ømm	4,5		4	,6			4	.7				
Dietectrico	Material		PEE		P	EE	PEE						
Lámina interior	Material		В			В	В						
Malla Material	AL			Al		AL							
Res. Chm/Km		<23			<30		<30						
Lámina antideslizan	te	No			Sí		No						
Petro-Gel		No			No		No						
	Ømm	6,5			6,8		6,7						
Cobertura exterior	Color	B	(B)	G	B	B	B	B	B	0	0	B	
Observation External	Material	P	PVC PVC LSFH		PVC		PVC					PE	
Radio de curvatura mínimo	mm	32,5			9	34	33						
Blindaje a 1GHz	dB		>85		>	95	>85						
Capacidad	pF/m		54			i3		54					
Impedancia	Ohm		75		1.5	75				75			

### Aplicación

#### · Datos cables.

		2128 212801 212811 414801 414802 2127 2127					212703	212704	212701	212702	212403		
Тіро		Clase A			Clas	e A+	Clase A						
					SK6Fplus		CXT-1						
Ømm		1,00			1,	02	1,00 Ac+Cu						
Conductor central	Material	Cu			Ac+Cu								
Res. Ohm/Kr		<23			<1	10			<	120			
Dieléctrico	Ømm	4,5		4	,6			4	.7				
Dietectrico	Material		PEE		P	EE	PEE						
Lámina interior	Material		В			3	В						
Malla Material		Al			1	AL.	JA.						
Res. Chm/Km		<23			<	30	<30						
Lámina antideslizant	te	No			Sí		No						
Petro-Gel		No			No		No						
	Ømm	6,5			6	.8	6,7						
Cobertura exterior	Color	B	B	G	B	B	B	B	B	0	0	B	
Observation Exterior	Material	P	PVC PVC LSFH		PVC		PVC					PE	
Radio de curvatura mínimo	mm	32,5			3	4	33						
Blindaje a 1GHz	dB		>85		>	95	>85						
Capacidad	pF/m		54		- 5	3	54						
Impedancia	Ohm		75		1.5	5			7	75			

### Aplicación

· Datos cables.

Referencias		2128	212801	212811	414801	414802	2127	212703	212704	212701	212702	212403	
Тіро		Clase A			Clas	e A+	Clase A						
					5K6	Plus	CXT-1						
Atenuaciones (dB/m)	- 100					A 100 TO				9927			
	200	0,08			0,10					0,09			
	500	0.14			D,	15.	0,15						
	800	0,18			0,	19	0,20						
Frecuencia (MHz)	1000	0,21			0,	22	0,23						
r recuencia (winz)	1350	0,25			0,	26	0,27						
	1750	0,29			0,	29	0,32						
	2050		0,32			31	0,35						
	2300	0,35			0,	33		0,37					

### Aplicación

Calcular.

Dados los dos primeros cables de la tabla

- a. Calcular los tres valores de permitividad del dieléctrico
- Comprobar que el valor de capacidad es el mismo que el de la tabla
- c. Calcular la conductividad de los tres conductores a partir de la atenuación del cable a 200 MHz.

### **Aplicación**

Solución.

#### Cable Coaxial



Geometría de un cable coaxial y parámetros de sus materiales.

#### Bajas frecuencias

$$L = \frac{\mu}{2\pi} \left\{ ln \left( b/a \right) + \frac{1}{4} + \frac{1}{4(c^2 - b^2)} \left[ b^2 - 3c^2 + \frac{4c^4}{(c^2 - b^2)} ln \left( c/b \right) \right] \right\}$$

### **Aplicación**

Solución.



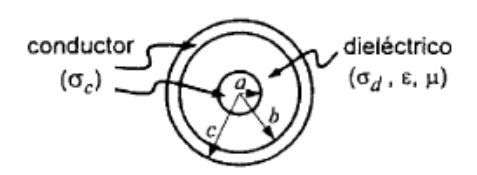
### Bajas frecuencias

$$L = \frac{\mu}{2\pi} \left\{ \ln(b/a) + \frac{1}{4} + \frac{1}{4(c^2 - b^2)} \left[ b^2 - 3c^2 + \frac{4c^4}{(c^2 - b^2)} \ln(c/b) \right] \right\}$$

$$C = \frac{2\pi\varepsilon}{\ln(b/a)} \qquad R = \frac{1}{\sigma_c \pi} \left( \frac{1}{a^2} + \frac{1}{c^2 - b^2} \right) \qquad G = \frac{2\pi\sigma_d}{\ln(b/a)}$$

### **Aplicación**

Solución.



### Altas frecuencias

$$L = \frac{\mu}{2\pi} \ln (b/a)$$

$$C = \frac{2\pi\varepsilon}{\ln (b/a)}$$

$$R = \frac{1}{2\pi\ell\sigma_c} \left(\frac{1}{a} + \frac{1}{b}\right)$$

$$G = \frac{2\pi\sigma_d}{\ln (b/a)}$$

### **Aplicación**

Solución.

Podemos calcular la permitividad a partir de Impedancia

$$Z_0 = \frac{60}{\sqrt{\varepsilon_r}} \ln\left(\frac{D}{d}\right) \to \varepsilon_r = \left(\frac{60}{Z_0} \ln\left(\frac{D}{d}\right)\right)^2 = \left[1.4478 \ 1.4520 \ 1.5328\right]$$

.

### Aplicación

Solución.

b.

Podemos calcular entonces la capacidad, muy próxima a la del fabricante.

$$C = \frac{2\pi\varepsilon_r \varepsilon_o}{\ln(\frac{D}{d})} = [53.52 \ 53.6045 \ 55.0746] \text{pF/m}$$

### Aplicación

Solución.

Calculamos L que nos hará falta para saber si estamos en alta frecuencia

$$L = \frac{\mu_0}{2\pi} \ln(\frac{D}{d}) = [0.3008 \ 0.3013 \ 0.3095] \mu \text{H/m}$$

Partiendo de la atenuación del cable que se obtiene de la tabla

$$\left[0.08\ 0.10\ 0.09\right] dB/m = \left[0.0092\ 0.0115\ 0.0104\right] Np/m$$

Sabemos que

$$\alpha = \frac{R}{2Z_0} \rightarrow R = \alpha 2Z_0 = [1.3825 \ 1.7281 \ 1.5553]\Omega/m$$

Calculamos si estamos en alta frecuencia

$$\frac{R}{\omega L} = [0.0037 \ 0.0046 \ 0.004]$$

Sí que estamos en alta frecuencia

### **Aplicación**

• Solución.

Sabemos que

$$R_s = \sqrt{\frac{\pi f \mu}{\sigma}} \to \sigma = \frac{\pi f \mu}{R_s^2} = [62.527 \ 38.4329 \ 48.6425] \cdot 10^6 S / m$$

#### Introducción

#### REDES I

Aunque las soluciones serie y paralelo permiten adaptar cualquier carga pasiva a una línea de transmisión, no proporcionan ningún mecanismo de control sobre la distancia de la carga a la que hay que introducir el elemento reactivo, lo que puede dar lugar a redes de adaptación de gran longitud. Una configuración que permite lograr adaptación de un modo más compacto es la formada por las redes de adaptación de dos elementos reactivos conectados en forma de "L"

### Redes L

### • Ejemplo.

Para ilustrar la técnica de síntesis de una red de adaptación en "L" consideraremos el ejemplo de la Figura donde se busca adaptar a una línea de transmisión ideal de impedancia característica  $Z_{\rm c} = 50~\Omega$  un transistor que presenta un factor de reflexión a su entrada de valor  $\rho_{\rm L} = 0.66 | \underline{-40^{\circ}}$ . Como red de adaptación se utilizará la formada por elemento serie - elemento paralelo mostrada en la Figura

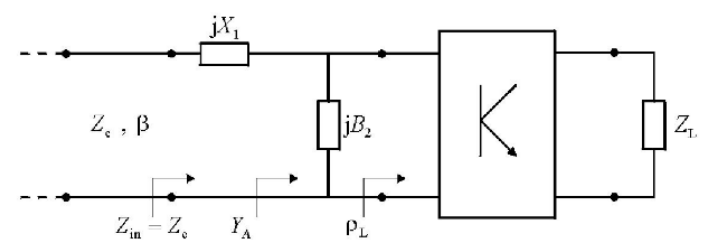


Figura Problema de adaptación planteado mediante red de 2 elementos en "L"

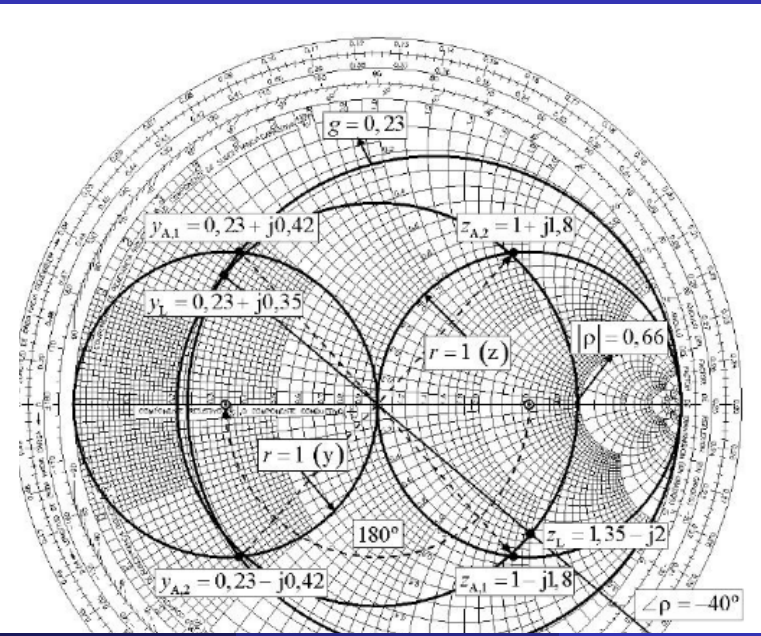
#### Redes L

### • Ejemplo.

Para esta configuración particular en la que el elemento más cercano a la carga está en paralelo resulta más cómodo trabajar con la carta de Smith de admitancias. El primer paso consiste en ubicar sobre dicha carta el valor de la admitancia de carga normalizada respecto de la admitancia característica de la línea  $(Y_c)$ , y que designaremos por  $y_L$ . A continuación, como el elemento más próximo a la carga es una susceptancia en paralelo de valor normalizado  $b_2$ , la admitancia  $y_A$  que se observa a su entrada será:

$$y_{\Lambda} = y_{L} + jb_{2} = g_{L} + j(b_{L} + b_{2})$$

que puede tomar cualquier valor situado sobre la circunferencia de conductancia constante  $g=g_L$  en la carta de Smith de admitancias. Para nuestro ejemplo, como el factor de reflexión a la entrada del transistor es  $\rho_L=0,66|\underline{-40^\circ}$ , la admitancia de carga es  $y_L=0,23+j0,35\,$  y los posibles valores para la admitancia normalizada  $y_A$  estarán ubicados en la circunferencia  $g_L=0,23$ 



Una segunda condición en el mismo plano se deduce analizando la red de adaptación desde la línea de entrada. Considerando que para adaptación  $z_{in} = 1$ , y que el primer elemento de la red es una reactancia serie, la impedancia  $z_{A}$  puede expresarse como:

$$z_{in} = 1 = z_A + jx_1 \implies z_A = z_{in} - jx_1 = 1 - jx_1$$

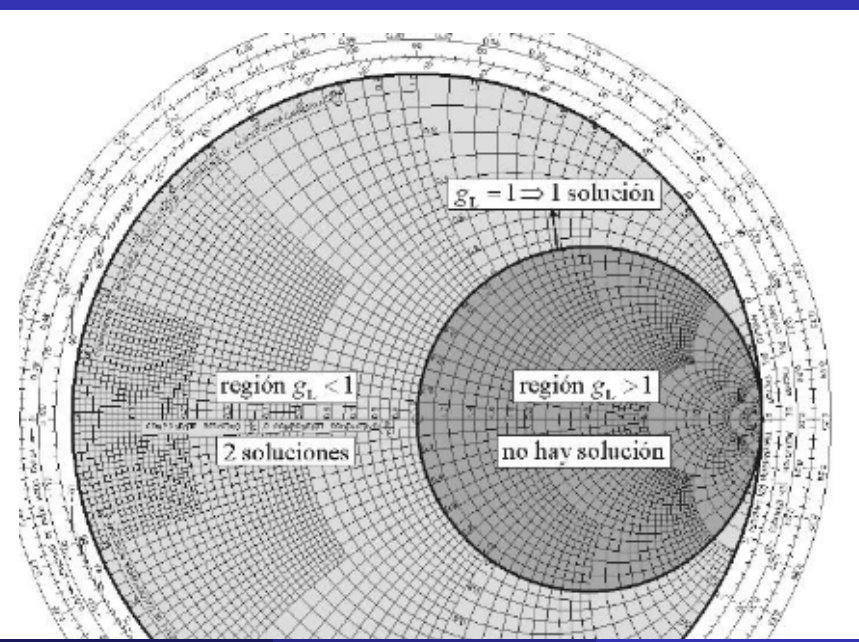
es decir, se ubicará sobre la circunferencia r=1 en la carta de Smith de impedancias.

Aunque ya hemos deducido las dos condiciones necesarias para resolver el problema, todavía no las podemos combinar debido a que la primera está situada en la carta de Smith de admitancias y la segunda en la de impedancias. El siguiente paso consiste en pasar la última condición sobre  $z_{\rm A}$  a la carta de Smith de admitancias, para lo que tenemos que aplicar un giro de 180° a la circunferencia r=1 dibujada en la carta de Smith de impedancias. Dicha rotación se puede realizar de forma sencilla rotando 180° la posición en la carta de Smith del centro de la circunferencia y volviendo a dibujarlo utilizando ahora el centro rotado y manteniendo el mismo radio, tal y como se muestra

De este modo, ya hemos representado las dos condiciones que ha de verificar  $y_{\rm A}$  en la carta de Smith de admitancias. Los puntos de intersección entre dichas condiciones nos darán los valores de  $y_{\rm A}$  para las distintas soluciones de nuestro problema. En función del valor de la conductancia de carga normalizada  $g_{\rm L}$  se producirá en este momento alguno de los 3 casos siguientes:

a)  $g_L > 1$ . En este caso la circunferencia correspondiente a una conductancia normalizada  $g = g_L$  no intersecta en ningún punto con la circunferencia r = 1 dibujada en la carta de Smith de admitancias. Como resultado, no se podrá conseguir adaptación con la red de dos elementos en "L" de la Figura (a). Sin embargo, si usamos en su lugar como red de adaptación su configuración dual representada en la Figura (b) nos encontraremos con dos posibles soluciones.

- b) Si g<sub>L</sub> = 1 existirá un único punto de intersección entre ambas condiciones (las circunferencias son tangentes) y que además coincidirá con y<sub>A</sub> = 1. Por lo tanto, sólo será necesario el elemento reactivo más cercano a la carga para compensar el valor de b<sub>L</sub> y conseguir la adaptación. La reactancia del elemento serie será evidentemente cero.
- c) Cuando g<sub>L</sub> < 1 nos encontraremos siempre con dos intersecciones válidas entre las circunferencias que representan cada una de las condiciones. Como resultado, obtenemos dos posibles valores para y<sub>A</sub> de la forma y<sub>A</sub> = g<sub>L</sub> ± jb<sub>A</sub>.



En el ejemplo de red de adaptación que estamos considerando  $g_L = 0,23 < 1$ , y por lo tanto existirán dos valores válidos de  $y_A$  que permiten obtener adaptación, que son los puntos  $y_{A,1} = 0,23 + j0,42$  e  $y_{A,2} = 0,23 - j0,42$ 

A partir de las soluciones encontradas para  $y_A$  es fácil despejar el valor correspondiente al elemento reactivo paralelo para cada posible solución:

$$jb_{2,i} = (y_{A,i} - y_L) = j(b_{A,i} - b_L)$$

que en nuestro caso toman el valor  $b_{2,1} = 0.07$  y  $b_{2,2} = -0.77$ .

Para determinar ahora el valor de la reactancia serie podemos utilizar la relación para obtener:

$$jx_{1,i} = 1 - z_{A,i} = -jx_{A,i}$$

donde el valor de  $z_{A,i} = 1 + jx_{A,i}$  se obtiene pasando los puntos intersección  $y_{A,1}$  e  $y_{A,2}$  a la carta de Smith de impedancias. Como  $y_{A,1}$  e  $y_{A,2}$  toman valores conjugados, también lo serán los valores de  $z_{A,1}$  y  $z_{A,2}$ , y atendiendo a los valores para la reactancia serie de ambas soluciones siempre tendrán el mismo valor absoluto y distinto signo.

Finalmente, procediendo de este manera en nuestro problema de adaptación obtenemos los puntos  $z_{\rm A,1}=1-\rm j\, l,8$  y  $z_{\rm A,2}=1+\rm j\, l,8$ , que dan lugar a unos elementos reactivos serie de valor normalizado  $x_{\rm 1,1}=1,8$  y  $x_{\rm 1,2}=-1,8$ . Como resultado, la primera solución de nuestro problema utiliza un elemento paralelo de susceptancia normalizada  $b_{\rm 2,1}=0,07$  con comportamiento capacitivo y un elemento serie inductivo de reactancia normalizada  $x_{\rm 1,1}=1,8$ . Por otro lado, la segunda solución se construye con un elemento paralelo inductivo de susceptancia normalizada  $b_{\rm 2,2}=-0,77$  y una reactancia serie normalizada  $x_{\rm 1,2}=-1,8$  con carácter capacitivo. En un problema genérico se podría haber obtenido como solución cualquier otra combinación de elementos inductivos y capacitivos.

El último paso a dar sería elegir de las soluciones obtenidas aquélla que nos parezca la más adecuada para la topología particular del circuito, e implementarla usando bien elementos concentrados (bobinas y condensadores) o distribuidos (stubs). Así por ejemplo, si en nuestra aplicación se polariza el transistor mediante las propias líneas de transmisión y elegimos una implementación con stubs (o con elementos concentrados), la configuración más adecuada es la mostrada en la Figura — Obsérvese que un stub en circuito abierto (o condensador) para el elemento serie no dejaría pasar la corriente continua de polarización al transistor; mientras que un stub en cortocircuito (o bobina) como elemento en paralelo produciría un cortocircuito a la entrada del transistor en continua que no permitiría su correcta polarización con una tensión de base-emisor.

El último paso a dar sería elegir de las soluciones obtenidas aquélla que nos parezca la más adecuada para la topología particular del circuito, e implementarla usando bien elementos concentrados (bobinas y condensadores) o distribuidos (stubs). Así por ejemplo, si en nuestra aplicación se polariza el transistor mediante las propias líneas de transmisión y elegimos una implementación con stubs (o con elementos concentrados), la configuración más adecuada es la mostrada en la Figura — Obsérvese que un stub en circuito abierto (o condensador) para el elemento serie no dejaría pasar la corriente continua de polarización al transistor; mientras que un stub en cortocircuito (o bobina) como elemento en paralelo produciría un cortocircuito a la entrada del transistor en continua que no permitiría su correcta polarización con una tensión de base-emisor.

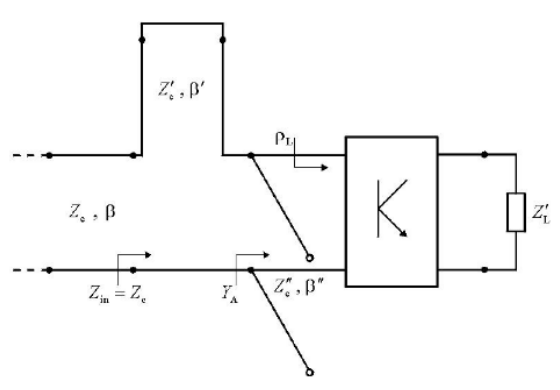


Figura Implementación adecuada de la red de adaptación con elementos distribuidos

### Resumen

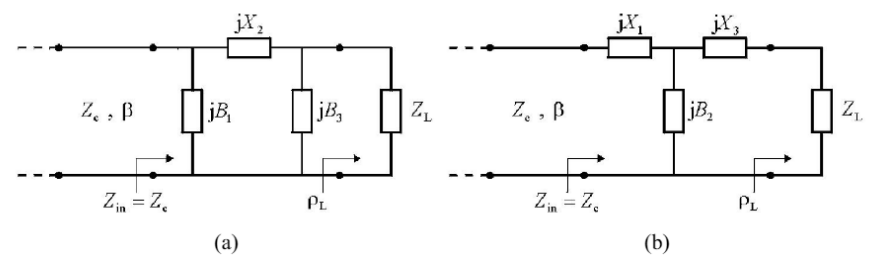
1 REDES L

2 Redes pi y T

Trabajos propuestos

### **Ejemplos**

Otras posibles configuraciones que permiten realizar la adaptación de una carga a la línea de transmisión son las redes de 3 elementos en "П" y en "T" mostradas en la Figura Dichas redes, que vuelven a ser duales entre sí, pueden considerarse como una extensión de las redes de 2 elementos en "L", a las que se les ha añadido un elemento reactivo en serie o en paralelo en uno de sus extremos. Como resultado del elemento adicional, dichas redes presentan infinitas soluciones para adaptar la carga a la línea de transmisión. Este grado de libertad adicional normalmente se utiliza para ajustar el ancho de banda en frecuencias donde se consigue el grado de adaptación adecuado.



### Resumen

1 REDES L

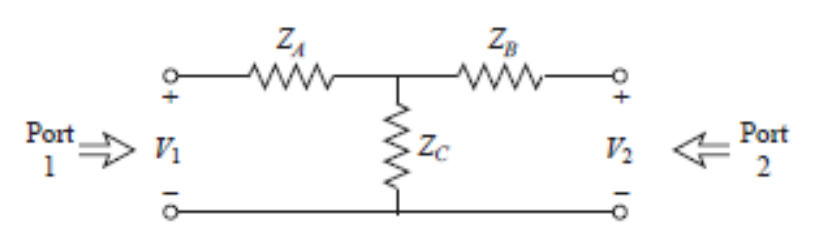
2 Redes pi y T

3 Trabajos propuestos

# Problemas propuestos para SEMANA 10

### PROPUESTA 1

• Calcular la matriz de impedancia Z para la red T de la figura



### Problemas propuestos semana 10

#### PROPUESTA 2

- Obtener las solución de la red de adaptación en L analizado en el Ejemplo, para adaptar a una línea de transmisión de impedancia característica  $Z_c=75\Omega$ .
- Explicar la matriz de dispersión (Investigar la estructura de un analizador vectorial de redes).
- Explicar la matriz de transmisión.

### Líneas de transmisión

### **FACULTAD DE INGENIERIA**

Escuela de Telecomunicaciones

Quinto Semestre

Unidad III: Adaptación de impedancias: REDES DE DOS ELEMENTOS
PhD. Daniel Antonio Santillán Haro

